

AMPLIFICADORES CON BJT

1.- Introducción.

2.- Modelo de pequeña señal del BJT.

2.1.- El cuadripolo y el modelo híbrido.

2.2.- Modelo híbrido de un transistor.

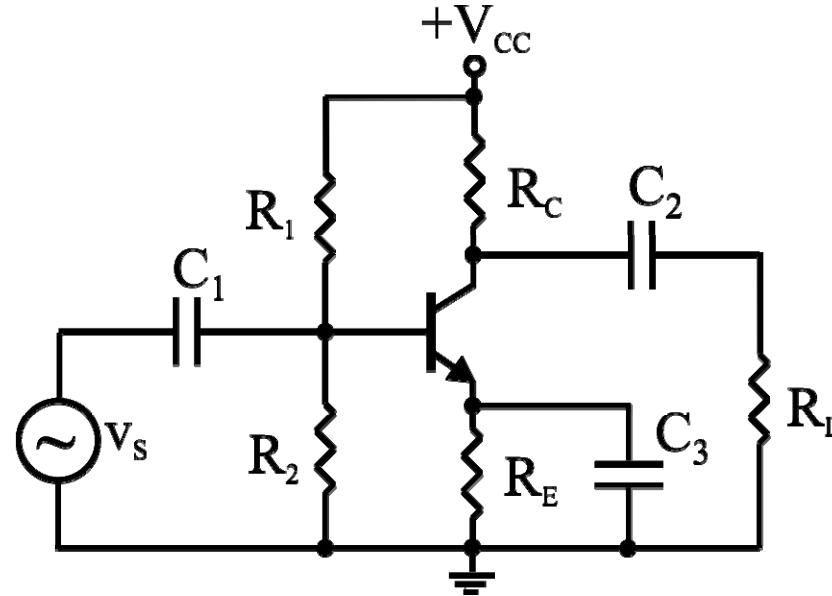
2.3.- Análisis de un circuito amplificador a transistores empleando parámetro h .

2.4.- Cálculo gráfico de los parámetros h .

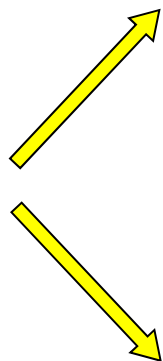
2.5.- Modelo híbrido simplificado.

2.6.- Comparación de las distintas configuraciones.

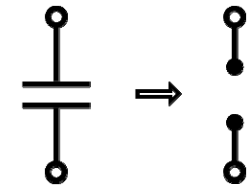
1.- Introducción.



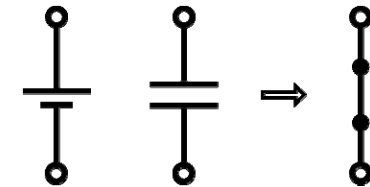
Principio de superposición



Análisis en continua

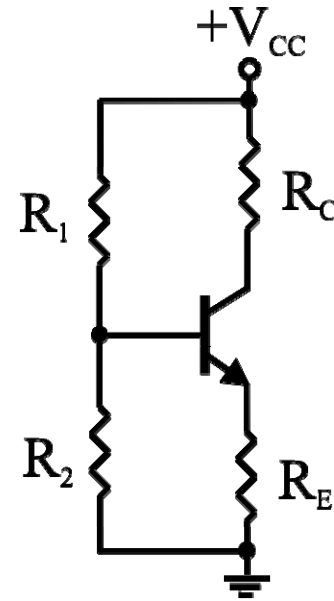


Análisis en alterna

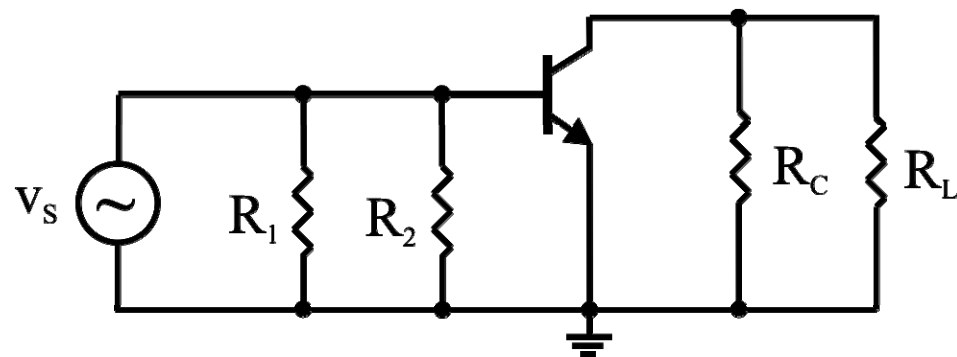


1.- Introducción.

Circuito equivalente DC.



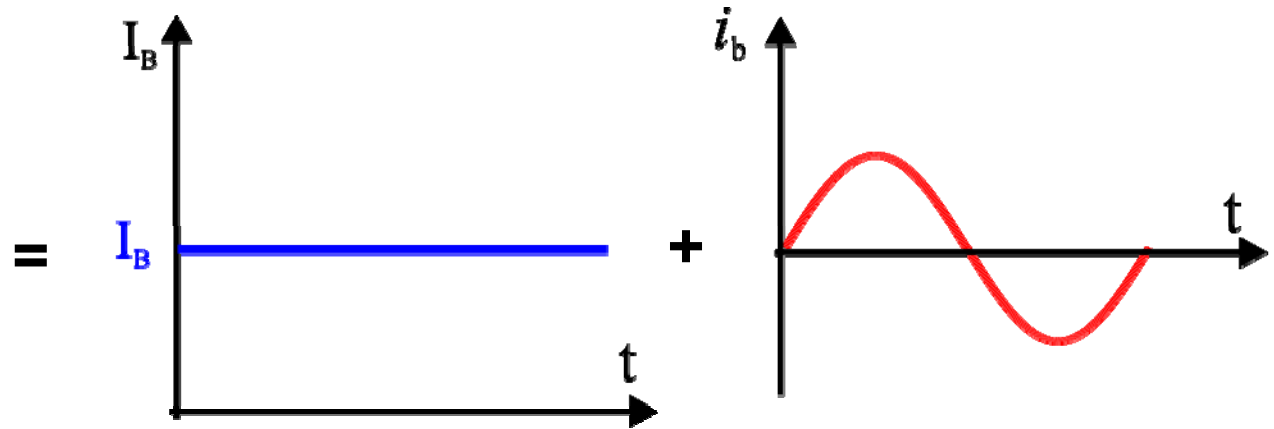
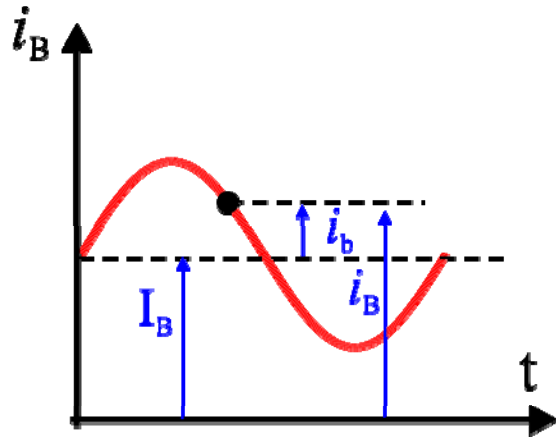
Circuito equivalente AC.



1.- Introducción.

Nomenclatura

$$i_B = I_B + i_b$$



i_B = Valor instantáneo total

i_b = Componente alterna

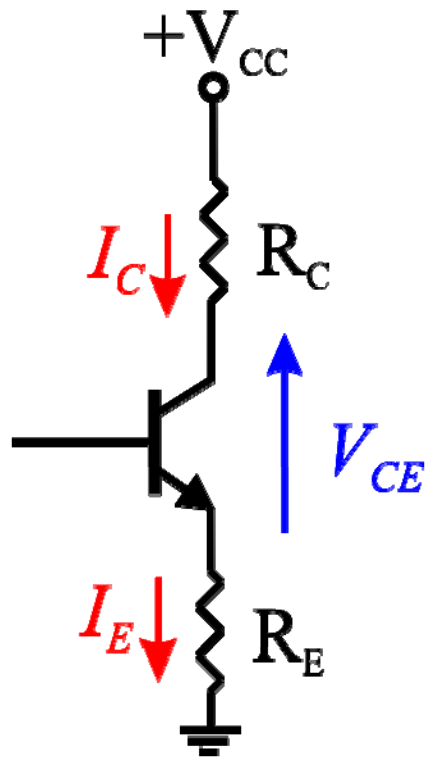
I_B = Componente continua

I_b = Valor eficaz de la componente alterna

1.- Introducción.

Recta de Carga Estática

$$f(V_{CE}, I_C) = 0$$



Análisis de la malla de salida en continua

$$V_{CC} = R_E \cdot I_E + V_{CE} + R_C \cdot I_C$$

$$I_E = \frac{\beta + 1}{\beta} \cdot I_C$$

$$V_{CC} = \left(R_C + R_E \frac{\beta + 1}{\beta} \right) \cdot I_C + V_{CE}$$

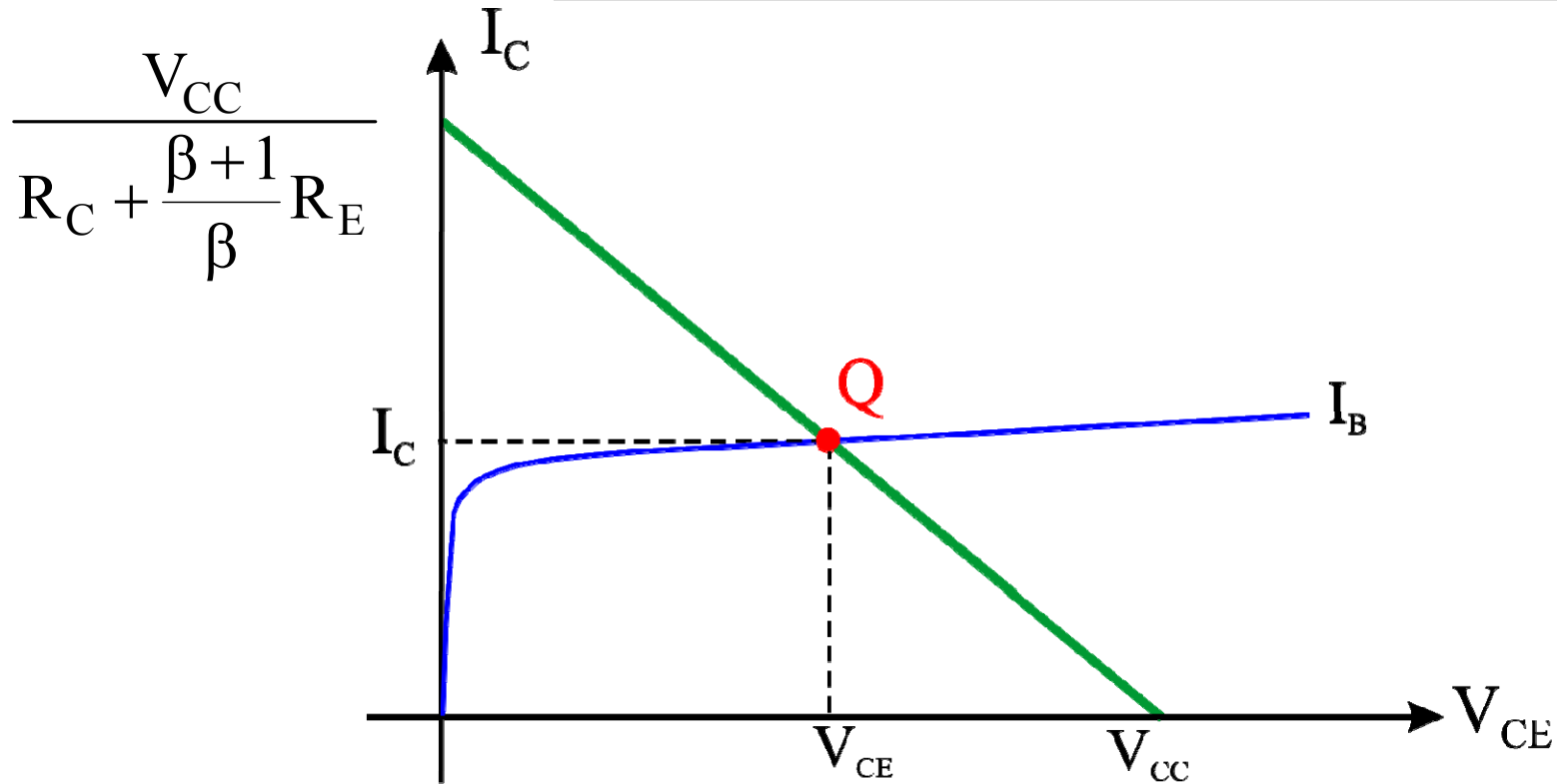
Si $\beta \gg 1$ o β es desconocida

$$V_{CC} = (R_C + R_E) \cdot I_C + V_{CE}$$

1.- Introducción.

Recta de Carga Estática

Representa los infinitos puntos de funcionamiento puede tener el transistor en el circuito.



$$m = \frac{-1}{R_C + \frac{\beta+1}{\beta}R_E} \approx \frac{-1}{R_C + R_E}$$

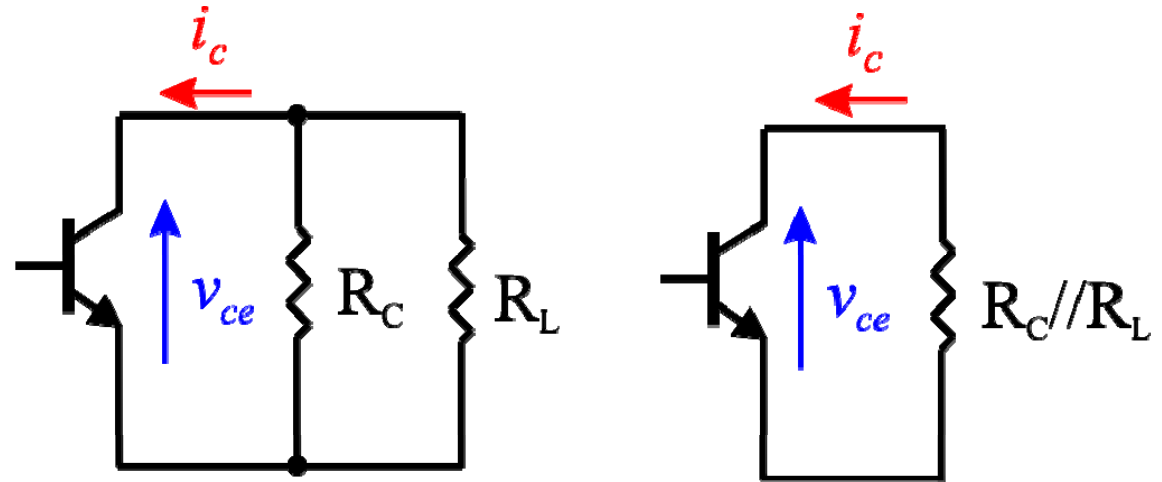
1.- Introducción.

Recta de Carga Dinámica

Análisis de la malla de salida en alterna

$$f(v_{CE}, i_C) = 0$$

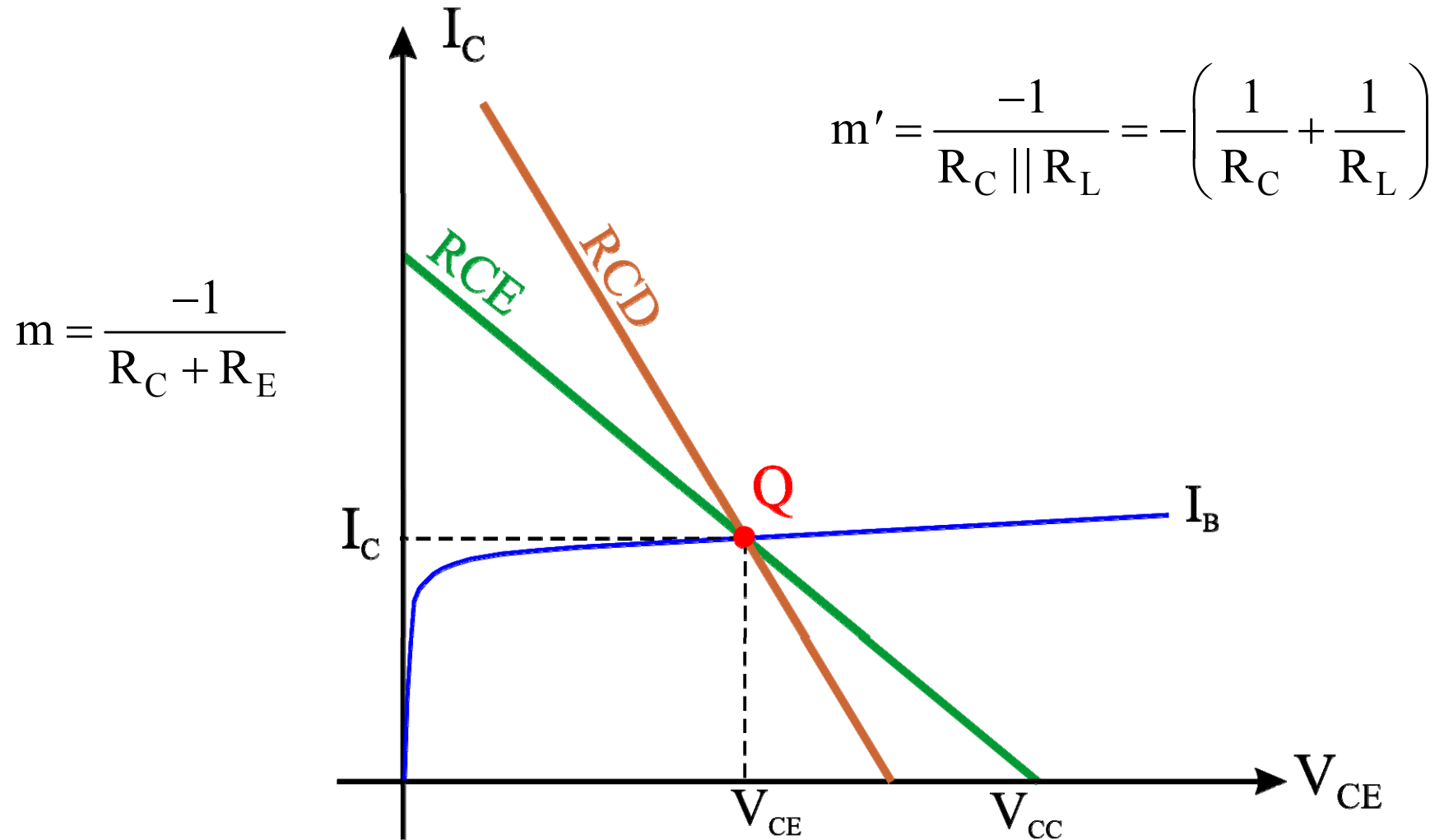
$$i_c = -\frac{v_{ce}}{R_L \parallel R_C}$$



$$\left. \begin{aligned} i_C = I_C + i_c &\Rightarrow i_c = i_C - I_C \\ V_{CE} = V_{CE} + v_{ce} &\Rightarrow v_{ce} = V_{CE} - V_{CE} \end{aligned} \right\}$$

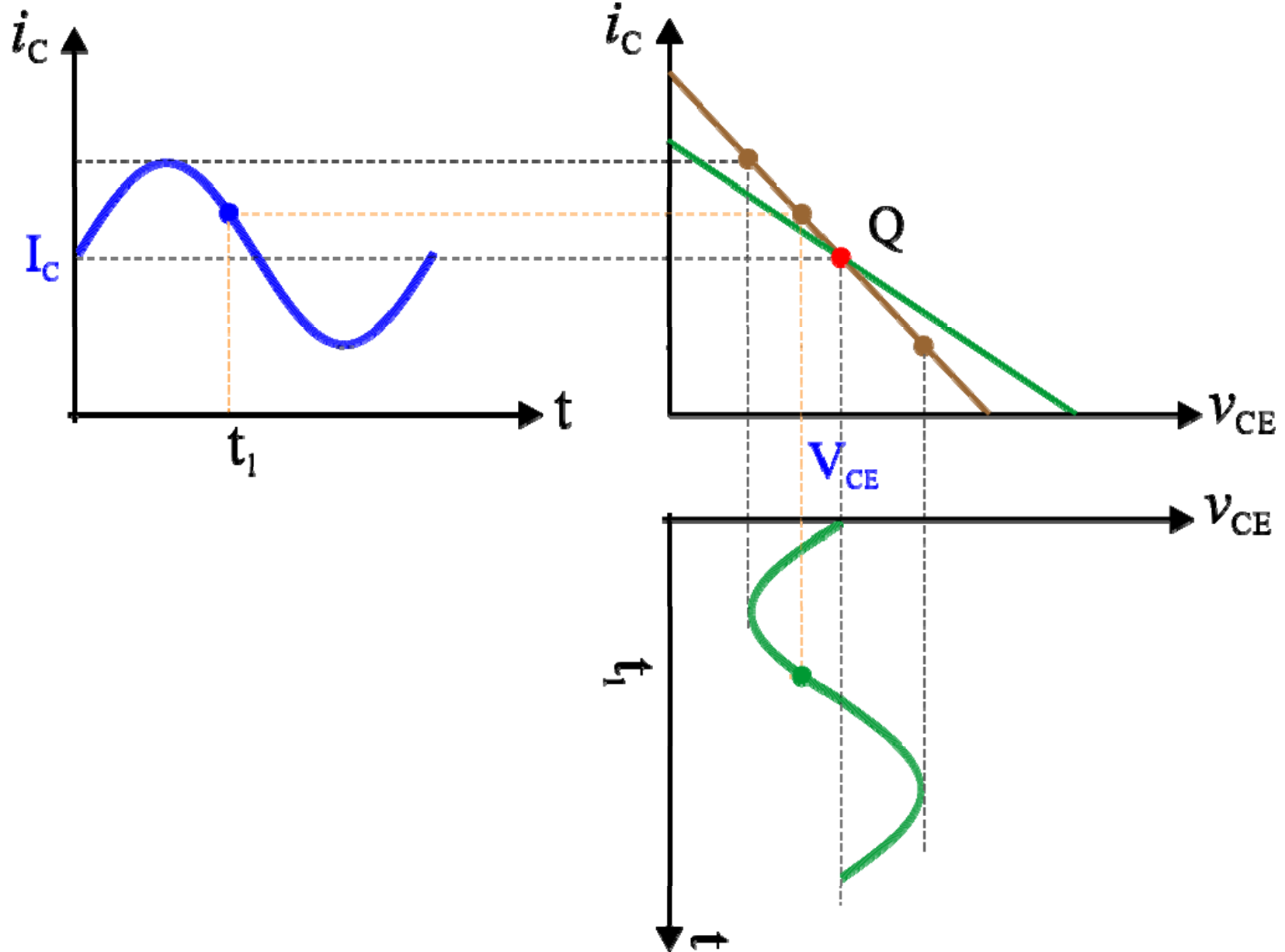
$$(i_C - I_C) = -\frac{1}{R_C \parallel R_L} (V_{CE} - V_{CE})$$

1.- Introducción.

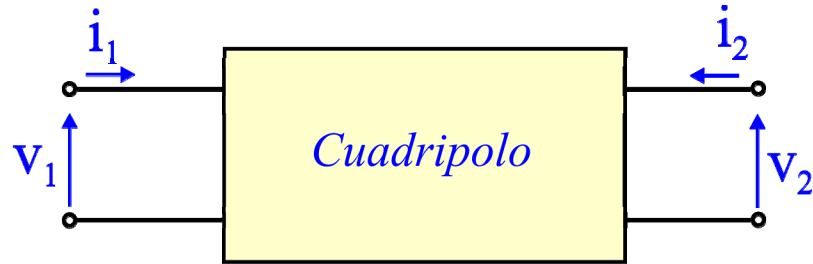


La RCD tiene mayor pendiente que la RCE

1.- Introducción.



2.1.- El cuadripolo y el modelo híbrido.



$$\left. \begin{aligned} v_1 &= h_{11} \cdot i_1 + h_{12} \cdot v_2 \\ i_2 &= h_{21} \cdot i_1 + h_{22} \cdot v_2 \end{aligned} \right\}$$
$$\begin{Bmatrix} v_1 \\ i_2 \end{Bmatrix} = \begin{bmatrix} h_{11} & h_{12} \\ h_{21} & h_{22} \end{bmatrix} \cdot \begin{Bmatrix} i_1 \\ v_2 \end{Bmatrix}$$

$$h_{11} = \left. \frac{v_1}{i_1} \right|_{v_2=0}$$

Resistencia de entrada
con la salida en cortocircuito (Ω)

$$h_{12} = \left. \frac{v_1}{v_2} \right|_{i_1=0}$$

Amplificación inversa de tensión
con la entrada en circuito abierto (Adimensional)

$$h_{21} = \left. \frac{i_2}{i_1} \right|_{v_2=0}$$

Ganancia de corriente
con la salida en cortocircuito (Adimensional)

$$h_{22} = \left. \frac{i_2}{v_2} \right|_{i_1=0}$$

Conductancia de salida
con la entrada en circuito abierto (Ω^{-1})

2.1.- El cuadripolo y el modelo híbrido.

Según las normas de IEEE

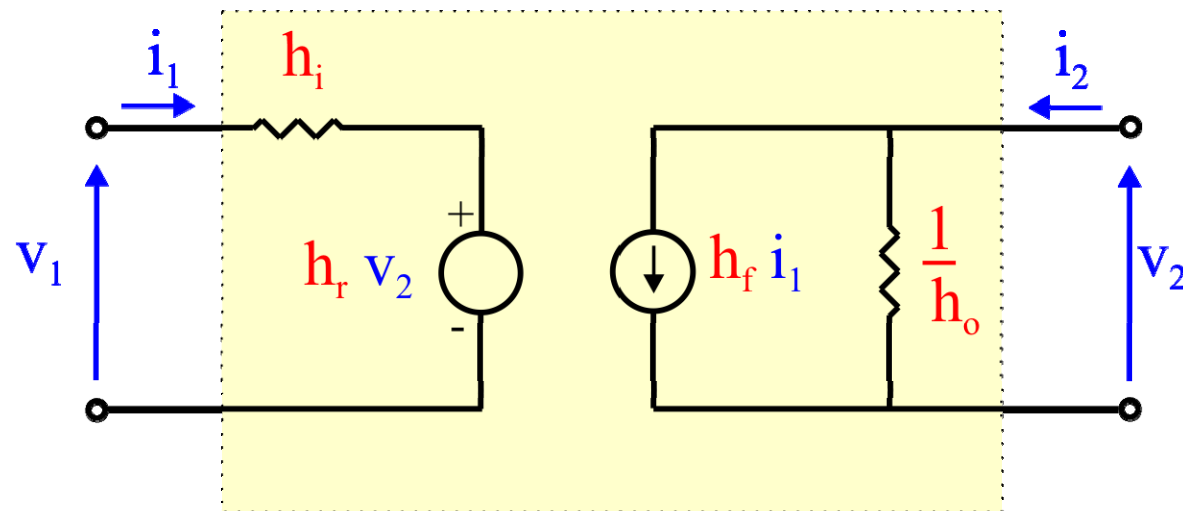
11 = i → Entrada

12 = r → Transferencia inversa

21 = f → Transferencia directa

22 = o → Salida

$$\left. \begin{aligned} V_1 &= h_i \cdot i_1 + h_r \cdot V_2 \\ i_2 &= h_f \cdot i_1 + h_o \cdot V_2 \end{aligned} \right\}$$



En el caso particular del transistor a los subíndices de los parámetros h se les añadirá una letra (e, b o c) indicativo del tipo de configuración

2.2.- Modelo híbrido de un transistor.

*Suponiendo variaciones pequeñas en el entorno del pto Q
(parámetros ctes)*

Para la configuración de EC

$$v_{BE} = f_1(i_B, v_{CE})$$

$$i_C = f_2(i_B, v_{CE})$$

Desarrollando en series de Taylor en torno al pto Q y despreciando términos de orden superior

$$\Delta v_{BE} = \left. \frac{\partial f_1}{\partial i_B} \right|_{v_{CE}} \cdot \Delta i_B + \left. \frac{\partial f_1}{\partial v_{CE}} \right|_{i_B} \cdot \Delta v_{CE}$$

$$\Delta i_C = \left. \frac{\partial f_2}{\partial i_B} \right|_{v_{CE}} \cdot \Delta i_B + \left. \frac{\partial f_2}{\partial v_{CE}} \right|_{i_B} \cdot \Delta v_{CE}$$

2.2.- Modelo híbrido de un transistor.

$$\Delta v_{BE} = v_{be}$$

$$\Delta i_B = i_b$$

$$\Delta v_{CE} = v_{ce}$$

$$\Delta i_C = i_c$$

$$h_{ie} = \left. \frac{\partial f_1}{\partial i_B} \right|_{V_{CE}} = \left. \frac{\partial v_{BE}}{\partial i_B} \right|_{\substack{V_{CE} \\ (v_{ce}=0)}}$$

$$h_{re} = \left. \frac{\partial f_1}{\partial v_{CE}} \right|_{I_B} = \left. \frac{\partial v_{BE}}{\partial v_{CE}} \right|_{\substack{I_B \\ (i_b=0)}}$$

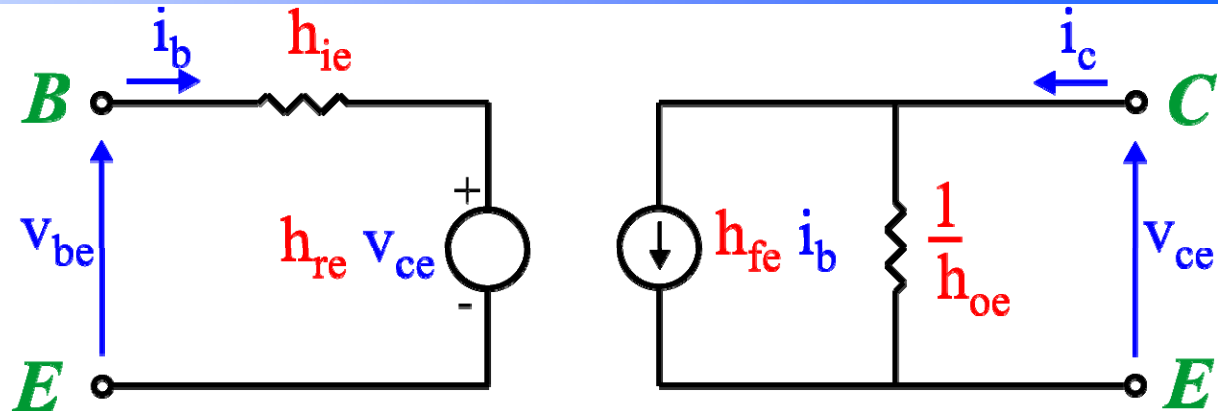
$$h_{fe} = \left. \frac{\partial f_2}{\partial i_B} \right|_{V_{CE}} = \left. \frac{\partial i_C}{\partial i_B} \right|_{\substack{V_{CE} \\ (v_{ce}=0)}}$$

$$h_{oe} = \left. \frac{\partial f_2}{\partial v_{CE}} \right|_{I_B} = \left. \frac{\partial i_C}{\partial v_{CE}} \right|_{\substack{I_B \\ (i_b=0)}}$$

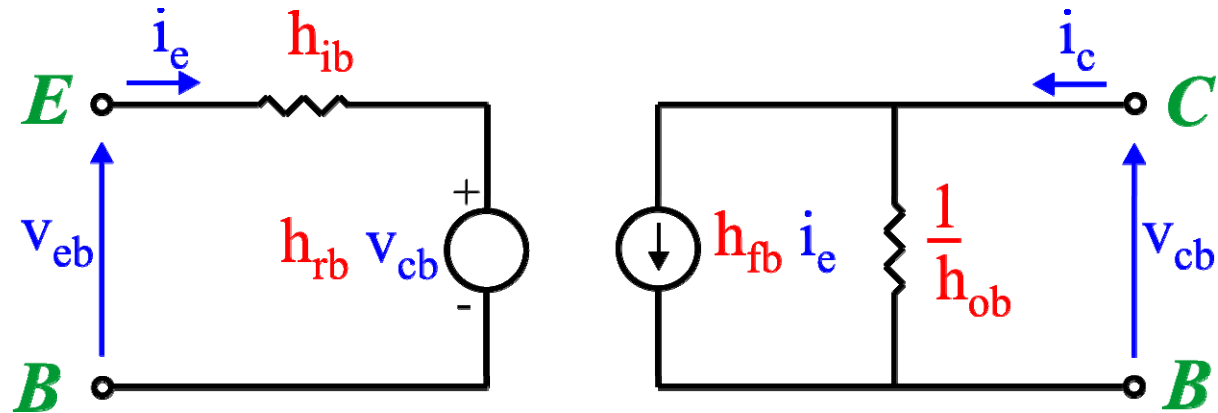
$$\left. \begin{aligned} v_{be} &= h_{ie} \cdot i_b + h_{re} \cdot v_{ce} \\ i_c &= h_{fe} \cdot i_b + h_{oe} \cdot v_{ce} \end{aligned} \right\}$$

2.2.- Modelo híbrido de un transistor.

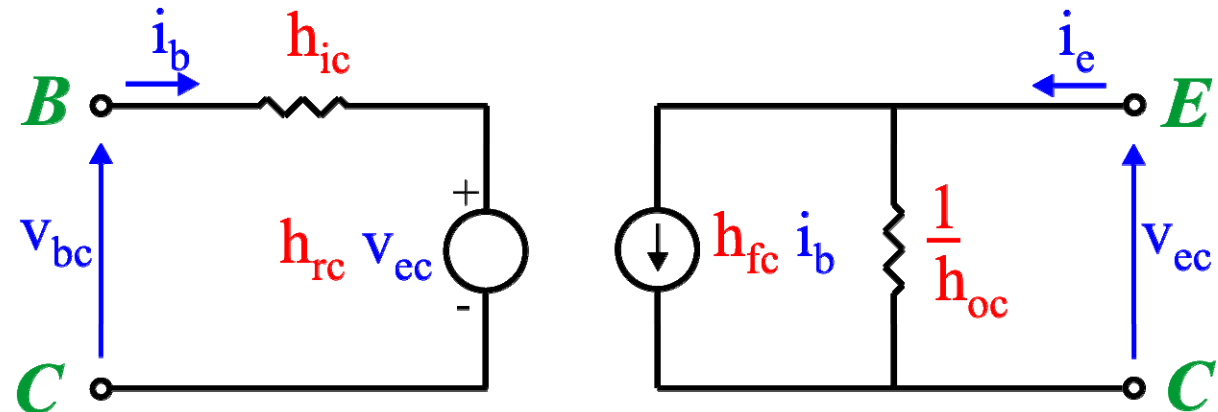
Emisor Común



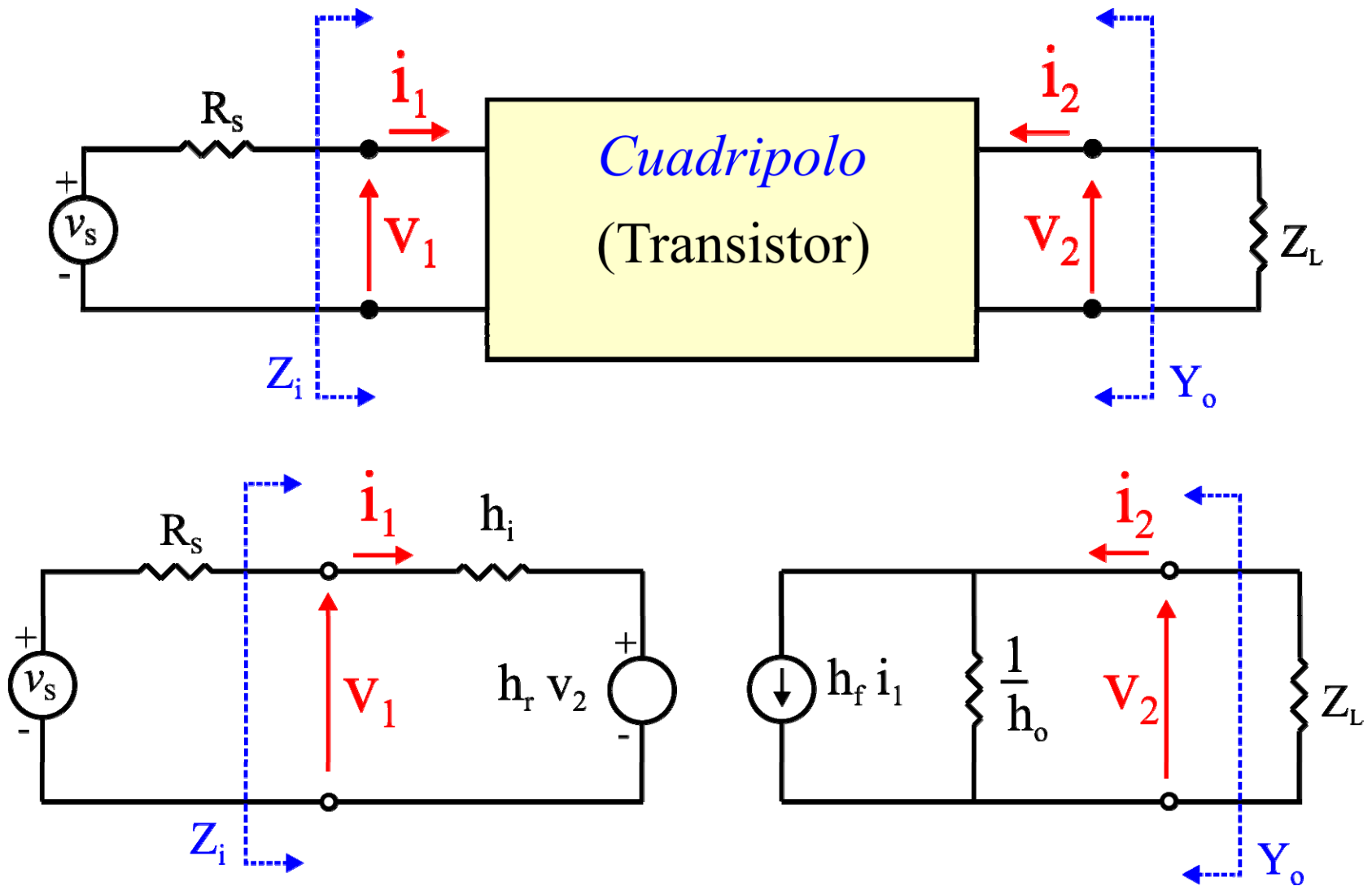
Base Común



Colector Común



2.3.- Análisis de un circuito amplif. con parámetros híbridos.



2.3.- Análisis de un circuito amplif. con parámetros híbridos.

Ganancia de corriente

$$A_I = \frac{i_L}{i_1} = -\frac{h_f}{1 + h_o \cdot Z_L}$$

Impedancia de entrada

$$Z_i = \frac{v_1}{i_1} = h_i - \frac{h_f \cdot h_r}{\frac{1}{Z_L} + h_o}$$

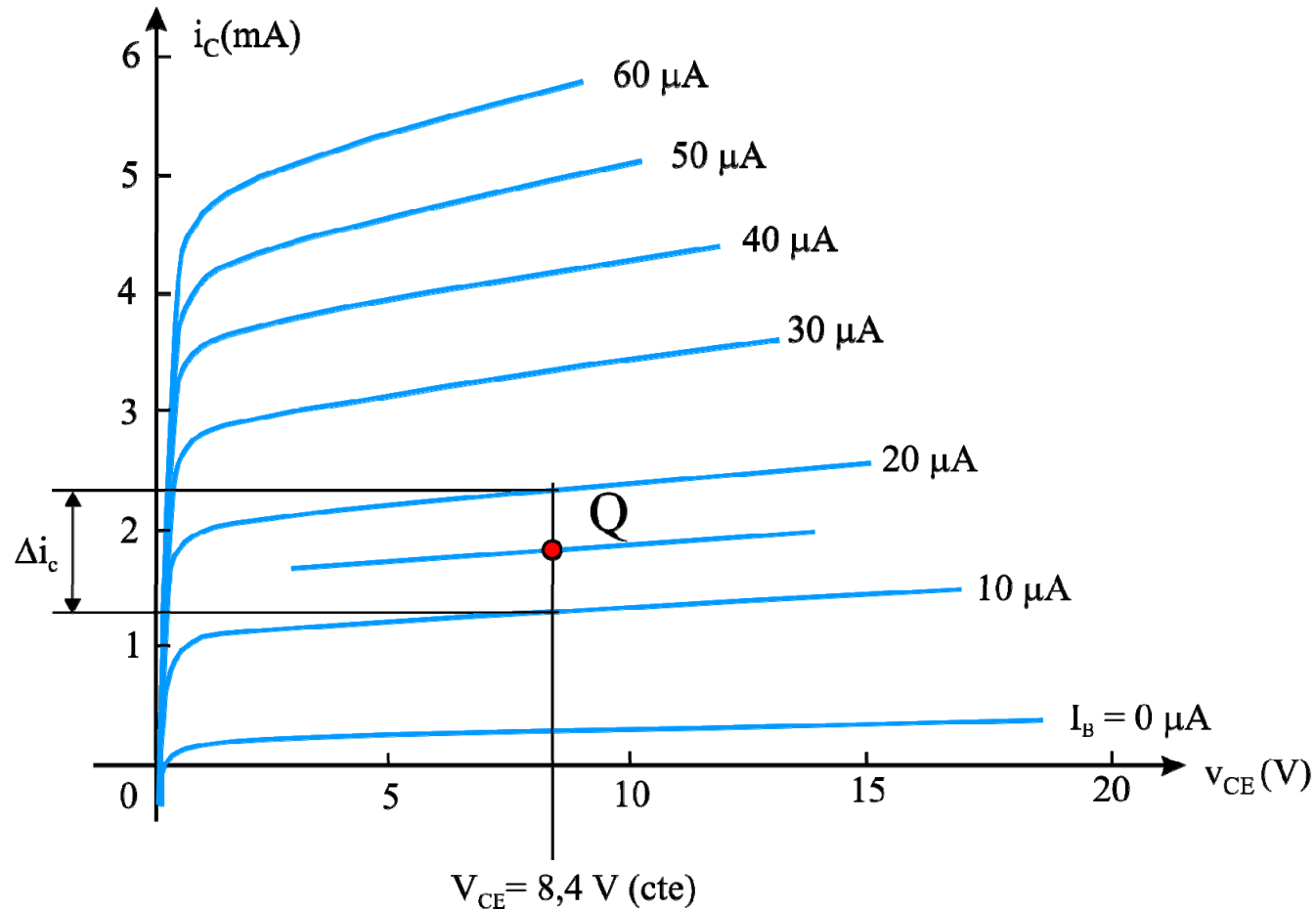
Ganancia de tensión

$$A_V = \frac{v_2}{v_1} = \frac{A_I \cdot Z_L}{Z_i} \quad A_{VS} = \frac{v_2}{v_S} = \frac{A_V \cdot Z_i}{Z_i + R_S} = \frac{A_I \cdot Z_L}{Z_i + R_S}$$

Impedancia de salida

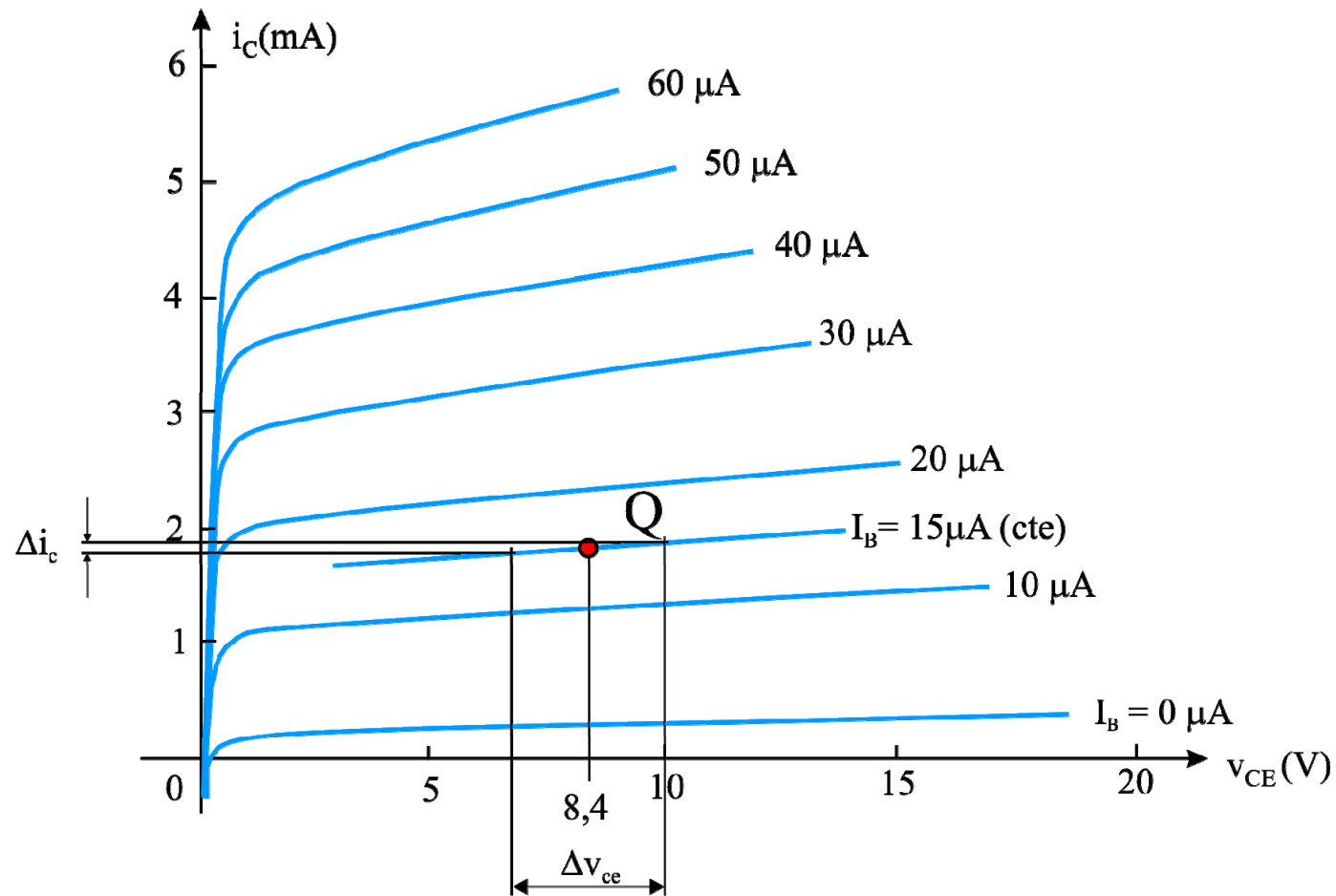
$$Y_o = \frac{i_2}{v_2} = h_o - \frac{h_f \cdot h_r}{h_i + R_S}$$

2.4.- Determinación gráfica de los parámetros h.



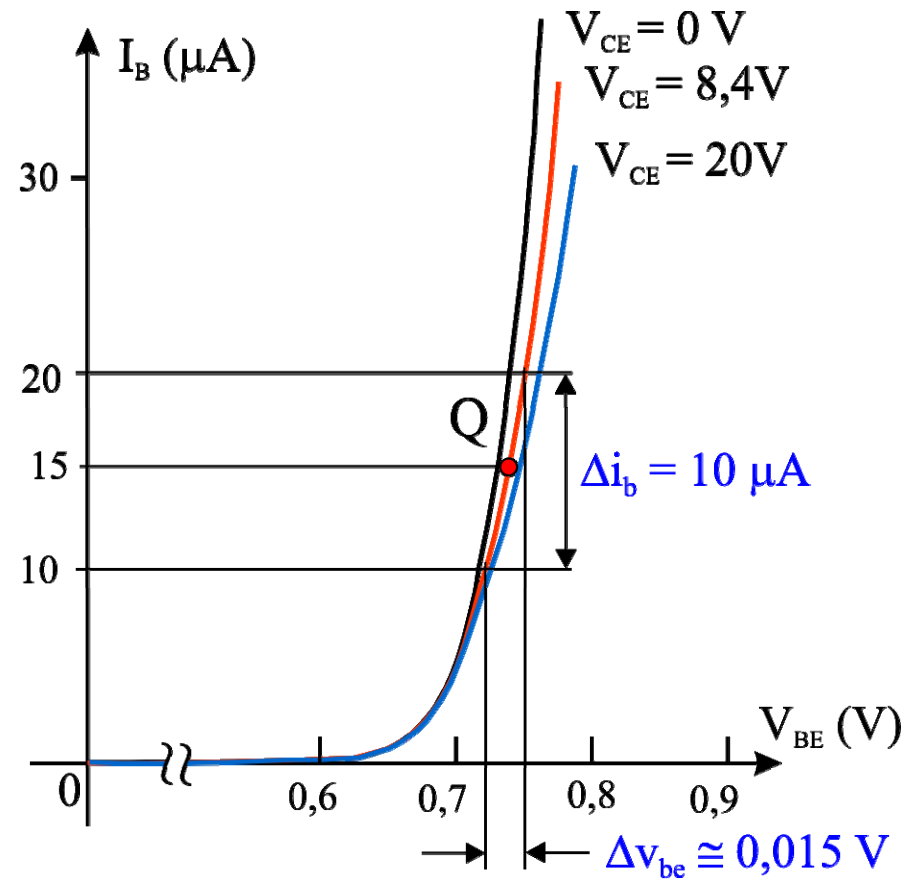
$$h_{fe} = \left. \frac{\partial i_c}{\partial i_B} \right|_{V_{CE}} = \left. \frac{\partial i_c}{\partial i_B} \right|_{V_{CE} \text{ (cte)}} \approx \frac{\Delta i_c}{\Delta i_B} \Big|_{V_{CE} \text{ (cte)}} = \frac{(2.3 - 1.3) \text{ mA}}{(20 - 10) \mu A} = 100$$

2.4.- Determinación gráfica de los parámetros h.



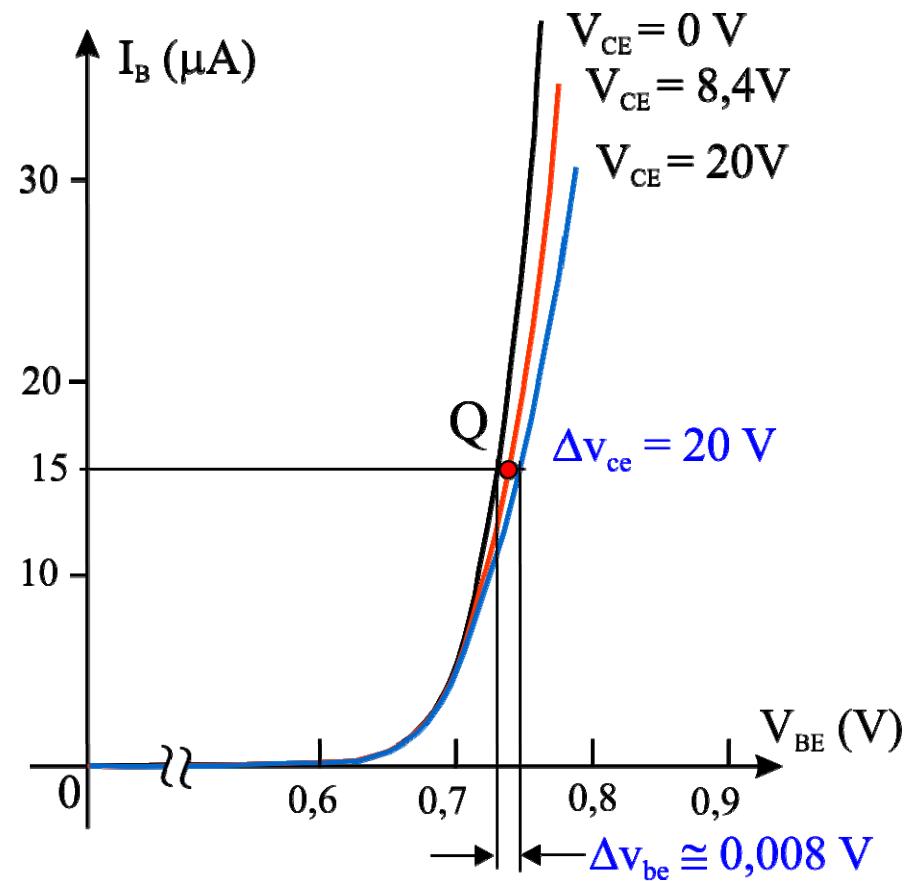
$$h_{oe} = \left. \frac{\partial i_c}{\partial v_{CE}} \right|_{I_B} = \left. \frac{\partial i_c}{\partial v_{CE}} \right|_{I_B, (i_b=0)} \approx \left. \frac{\Delta i_c}{\Delta v_{CE}} \right|_{I_B, (i_b=0)} = \frac{(1,9 - 1,8) \text{ mA}}{(10 - 6,8) \text{ V}} = 31 \cdot 10^{-6} \Omega^{-1}$$

2.4.- Determinación gráfica de los parámetros h.



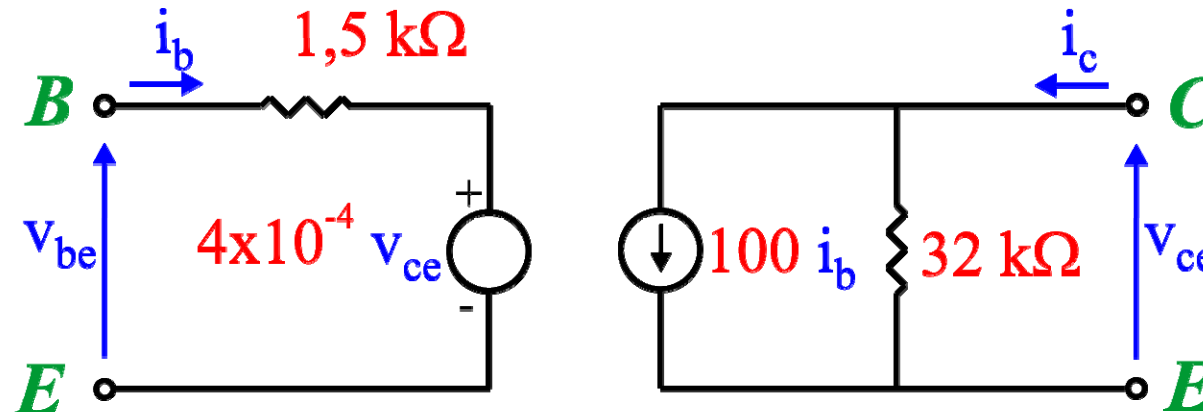
$$h_{ie} = \left. \frac{\partial i_1}{\partial i_B} \right|_{V_{CE}} = \left. \frac{\partial V_{BE}}{\partial i_B} \right|_{\substack{V_{CE} \\ (v_{ce}=0)}} \approx \left. \frac{\Delta V_{BE}}{\Delta i_B} \right|_{\substack{V_{CE} \\ (v_{ce}=0)}} = \frac{0,015 \text{ V}}{10 \mu\text{A}} = 1,5 \text{ k}\Omega$$

2.4.- Determinación gráfica de los parámetros h.



$$h_{re} = \left. \frac{\partial f_1}{\partial v_{CE}} \right|_{I_B} = \left. \frac{\partial v_{BE}}{\partial v_{CE}} \right|_{I_B} \approx \left. \frac{\Delta v_{BE}}{\Delta v_{CE}} \right|_{I_B} = \frac{0.008 \text{ V}}{20 \text{ V}} = 4 \cdot 10^{-4}$$

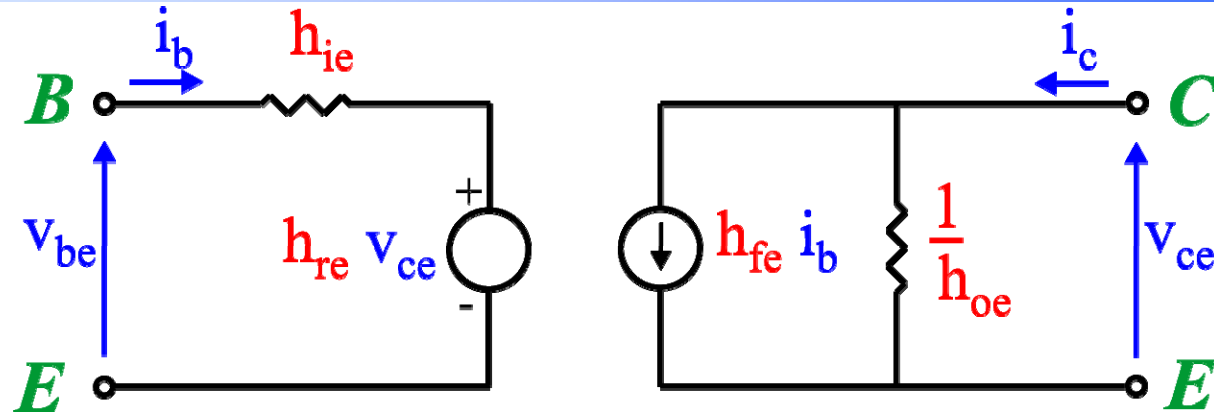
2.4.- Determinación gráfica de los parámetros h.



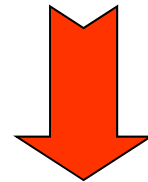
Valores típicos de los parámetros según la configuración

Parámetro	EC	CC	BC
h_i	1 k Ω	1 k Ω	20 k Ω
h_r	$2,5 \cdot 10^{-4}$	~ 1	$3,0 \cdot 10^{-4}$
h_f	50	-50	-0,98
h_o	25 μ A/V	25 μ A/V	0,5 μ A/V
$1/h_o$	40 k Ω	40 k Ω	2 M Ω

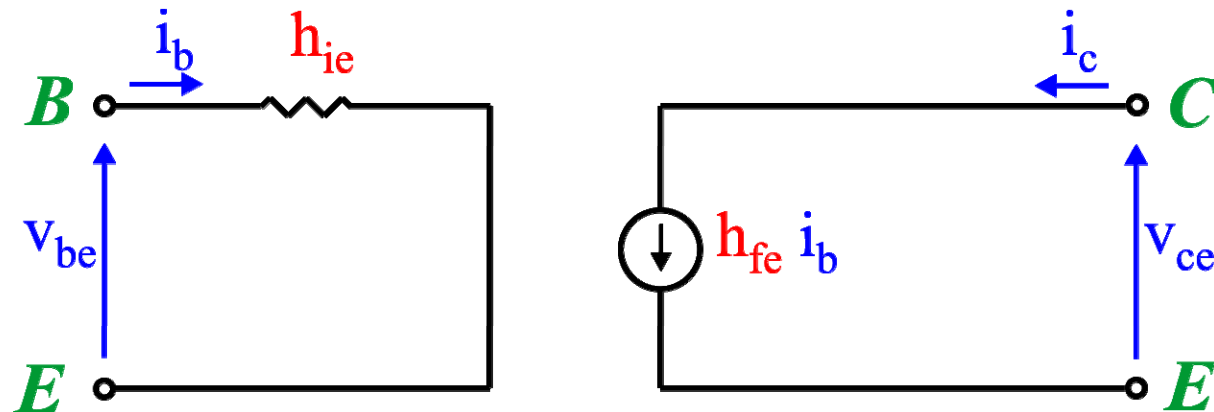
2.5.- Modelo híbrido simplificado.



$$h_{re} = h_{oe} = 0$$

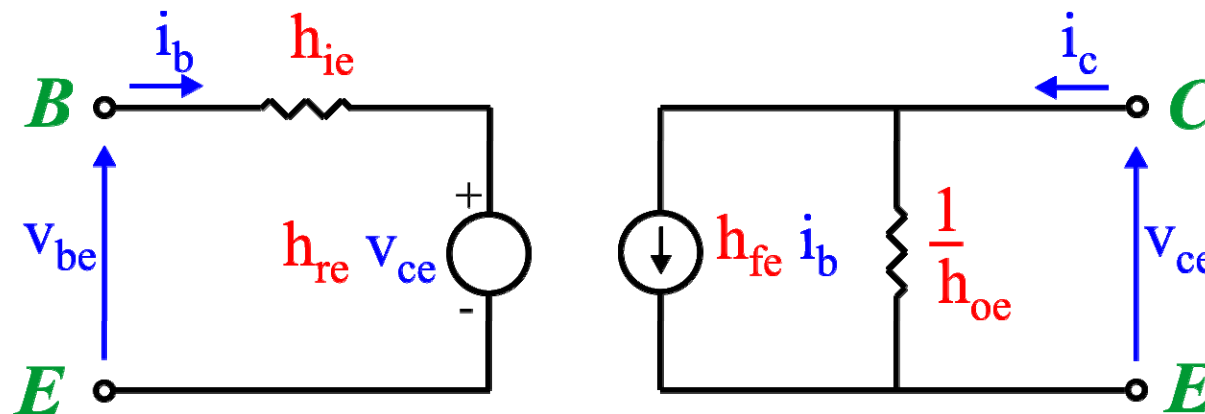


Modelo simplificado



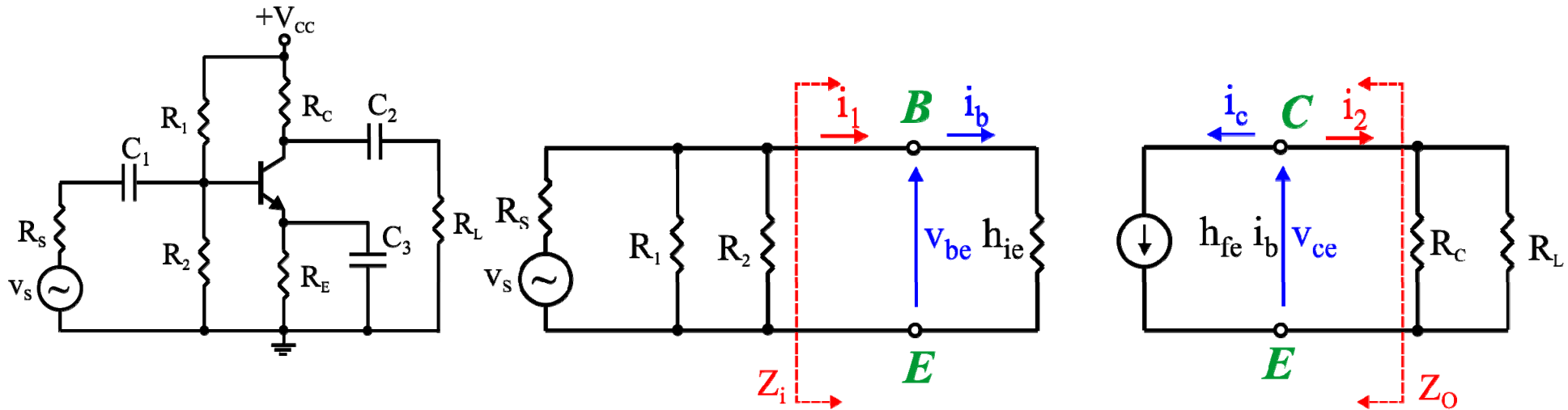
2.6.- Comparación entre las distintas configuraciones.

Con independencia de la configuración
en la que se encuentre el transistor,
SIEMPRE utilizaremos el modelo de parámetros
en **emisor común**



2.6.- Comparación entre las distintas configuraciones.

Emisor Común



$$A_I = \frac{i_2}{i_1} = \frac{-i_c}{i_b} = \frac{-h_{fe} \cdot i_b}{i_b} = -h_{fe}$$

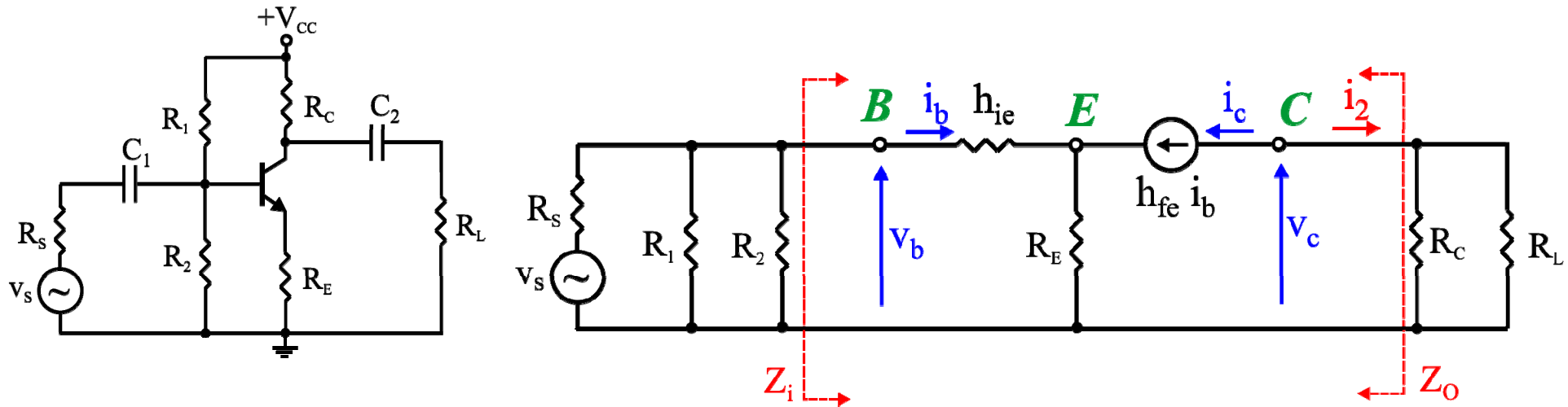
$$Z_i = \frac{v_1}{i_1} = \frac{v_{be}}{i_b} = \frac{h_{ie} \cdot i_b}{i_b} = h_{ie}$$

$$A_V = \frac{v_2}{v_1} = \frac{v_{ce}}{v_{be}} = \frac{-(R_L \parallel R_C) \cdot i_c}{h_{ie} \cdot i_b} = \frac{-(R_L \parallel R_C) \cdot h_{fe} \cdot i_b}{h_{ie} \cdot i_b} = -\frac{(R_L \parallel R_C)}{h_{ie}} \cdot h_{fe}$$

$$Z_o = \frac{v_2}{i_2} = \frac{v_2}{0} = \infty$$

2.6.- Comparación entre las distintas configuraciones.

Emisor Común con R_F



$$A_I = \frac{i_2}{i_1} = \frac{-i_c}{i_b} = \frac{-h_{fe} \cdot i_b}{i_b} = -h_{fe}$$

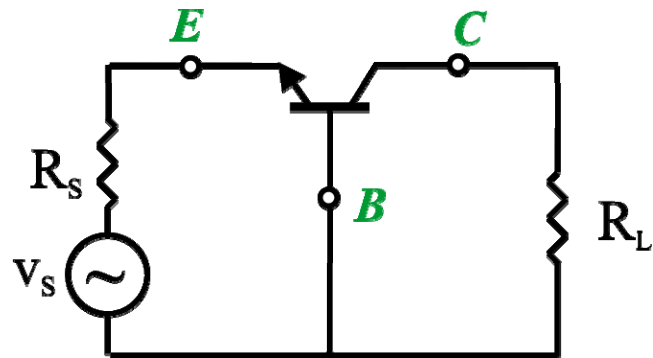
$$Z_i = \frac{v_1}{i_1} = \frac{v_b}{i_b} = \frac{h_{ie} \cdot i_b + R_E \cdot i_b (h_{fe} + 1)}{i_b} = h_{ie} + R_E \cdot (h_{fe} + 1)$$

$$A_V = \frac{v_c}{v_b} = \frac{-(R_L \parallel R_C) \cdot i_c}{h_{ie} \cdot i_b + R_E \cdot i_b (h_{fe} + 1)} = \frac{-(R_L \parallel R_C) \cdot h_{fe} \cdot i_b}{h_{ie} \cdot i_b + R_E \cdot i_b (h_{fe} + 1)} = -\frac{(R_L \parallel R_C) \cdot h_{fe}}{h_{ie} + R_E (h_{fe} + 1)}$$

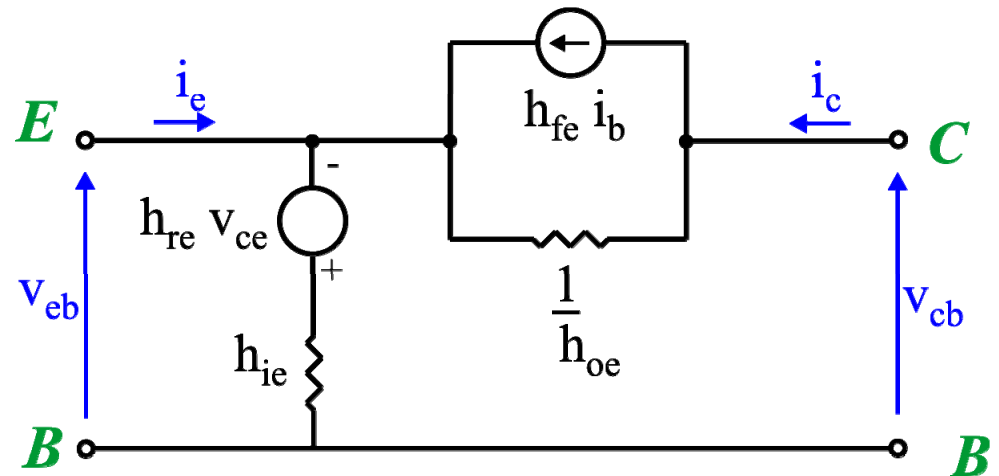
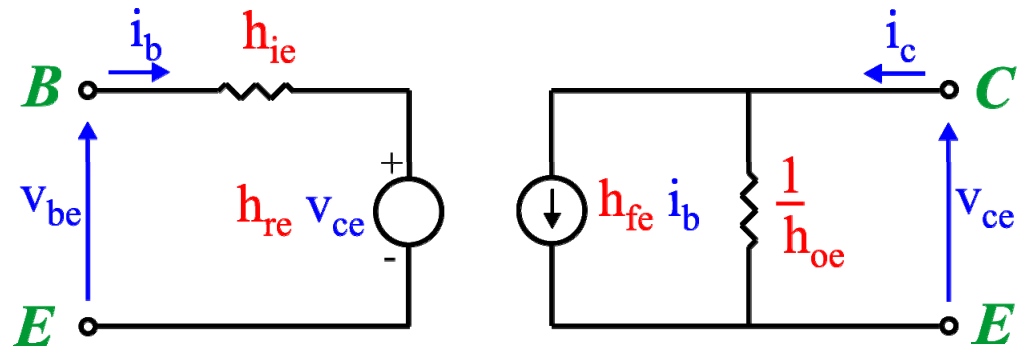
$$Z_o = \frac{v_2}{i_2} = \frac{v_2}{0} = \infty$$

2.6.- Comparación entre las distintas configuraciones.

Base Común

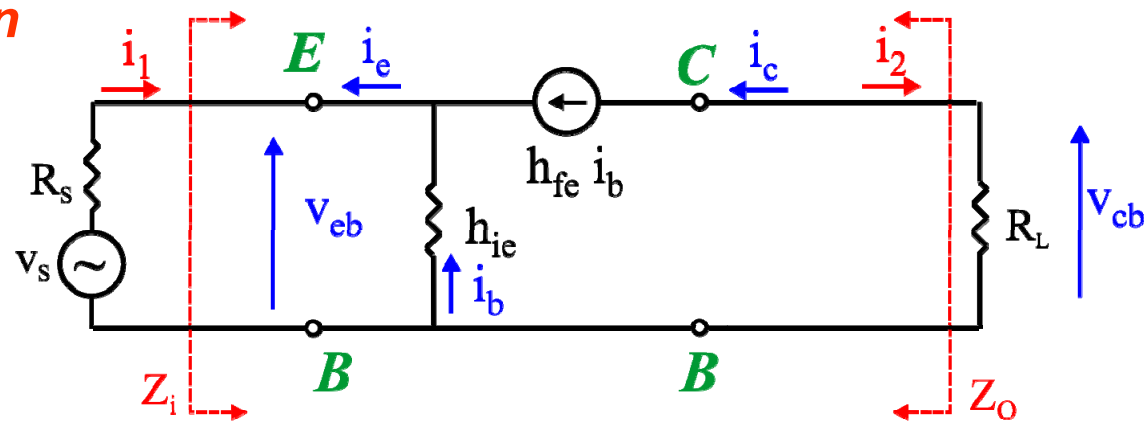


Reordenamos el circuito de parámetros h en Emisor Común



2.6.- Comparación entre las distintas configuraciones.

Base Común



$$A_I = \frac{i_2}{i_1} = \frac{-i_c}{-i_e} = \frac{-h_{fe} \cdot i_b}{-(h_{fe} + 1) \cdot i_b} = \frac{h_{fe}}{h_{fe} + 1}$$

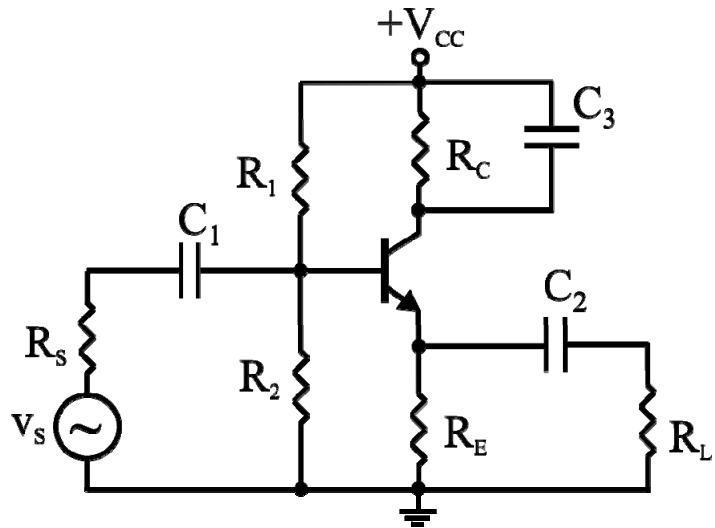
$$Z_i = \frac{V_1}{i_1} = \frac{v_{eb}}{-i_e} = \frac{-h_{ie} \cdot i_b}{-(h_{fe} + 1) \cdot i_b} = \frac{h_{ie}}{h_{fe} + 1}$$

$$A_V = \frac{v_{cb}}{v_{eb}} = \frac{-R_L \cdot i_c}{-h_{ie} \cdot i_b} = \frac{R_L \cdot h_{fe} \cdot i_b}{h_{ie} \cdot i_b} = \frac{R_L}{h_{ie}} \cdot h_{fe}$$

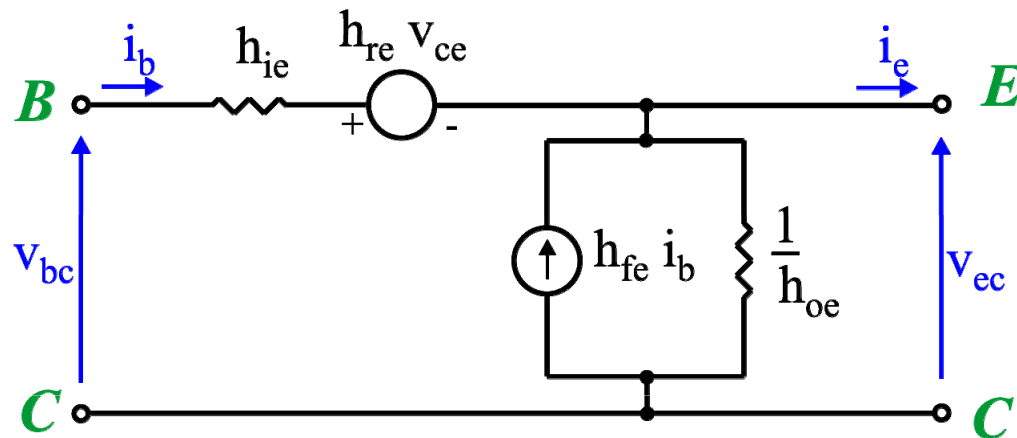
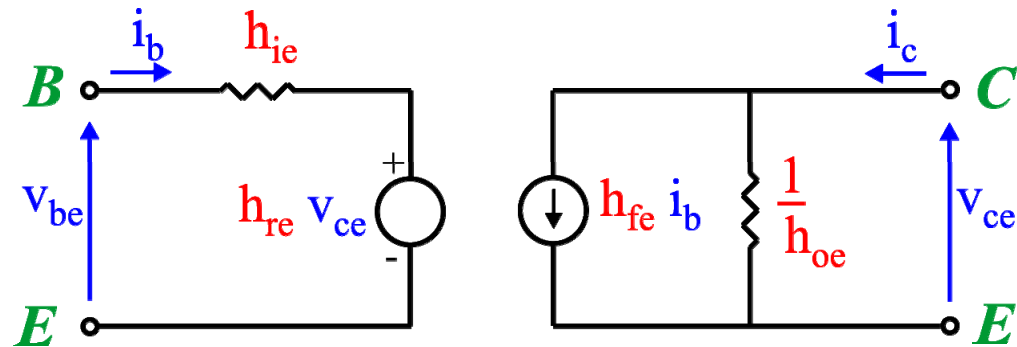
$$Z_o = \frac{V_2}{i_2} = \frac{V_2}{0} = \infty$$

2.6.- Comparación entre las distintas configuraciones.

Colector Común

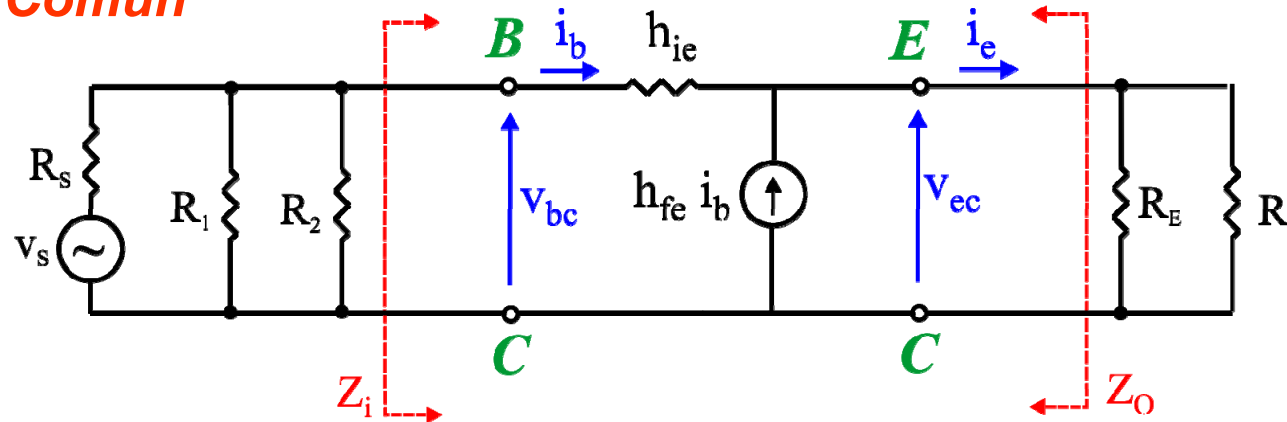


Reordenamos el circuito de parámetros h en Emisor Común



2.6.- Comparación entre las distintas configuraciones.

Colector Común



$$A_I = \frac{i_2}{i_1} = \frac{i_e}{i_b} = \frac{(h_{fe} + 1) \cdot i_b}{i_b} = h_{fe} + 1$$

$$Z_i = \frac{v_1}{i_1} = \frac{v_{bc}}{i_b} = \frac{h_{ie} \cdot i_b + (R_L \parallel R_E) \cdot i_e}{i_b} = h_{ie} + (R_L \parallel R_E) \cdot (h_{fe} + 1)$$

$$A_V = \frac{v_{ec}}{v_{bc}} = \frac{(R_L \parallel R_E) \cdot i_e}{h_{ie} \cdot i_b + (R_L \parallel R_E) \cdot i_e} = \frac{(R_L \parallel R_E) \cdot (h_{fe} + 1)}{h_{ie} + (R_L \parallel R_E)(h_{fe} + 1)}$$

$$Z_o = \frac{v_2}{i_2} = \frac{h_{ie} + R_{eq}}{h_{fe} + 1}, \text{ donde } R_{eq} = (R_s \parallel R_1 \parallel R_2) \approx R_s$$

2.6.- Comparación entre las distintas configuraciones.

	<i>Emisor Común</i>	<i>Emisor Común con R_E</i>	<i>Base Común</i>	<i>Colector Común</i>
A_I	$-h_{fe}$	$-h_{fe}$	$\frac{h_{fe}}{h_{fe} + 1}$	$h_{fe} + 1$
Z_i	h_{ie}	$h_{ie} + R_E \cdot (h_{fe} + 1)$	$\frac{h_{ie}}{h_{fe} + 1}$	$h_{ie} + (R_L \parallel R_E) \cdot (h_{fe} + 1)$
A_v	$-\frac{(R_L \parallel R_C)}{h_{ie}} \cdot h_{fe}$	$-\frac{(R_L \parallel R_C) \cdot h_{fe}}{h_{ie} + R_E (h_{fe} + 1)}$	$\frac{R_L}{h_{ie}} \cdot h_{fe}$	$1 - \frac{h_{ie}}{h_{ie} + (R_L \parallel R_E)(h_{fe} + 1)}$
Z_o	∞	∞	∞	$\frac{h_{ie} + R_S}{h_{fe} + 1}$